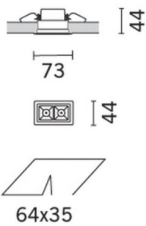
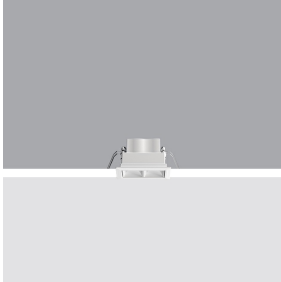


Letzte Aktualisierung der Informationen: Februar 2025

Produktkonfiguration: MQ76.01

MQ76.01: Einbauleuchte mit 2 Zellen - LED - Warm White - flood - 4W 314.9lm - 3000K - CRI 95 - weiss



Produktcode

MQ76.01: Einbauleuchte mit 2 Zellen - LED - Warm White - flood - 4W 314.9lm - 3000K - CRI 95 - weiss

Beschreibung

Miniaturisierte, rechteckige Einbauleuchte mit 2 optischen Elementen mit LED-Lampen - feste Optiken - flood-Öffnung. Hauptkorpus mit strahlender Oberfläche aus Aluminiumdruckguss, Version mit Anschlag-Rahmen. Hochauflösungsoptik aus metallisiertem Thermoplast, in zurückgesetzter Position in den schwarzen Blendschutz integriert. Anschlusskabel im Lieferumfang enthalten. Versorgungseinheit nicht inbegriffen, mit separater Bestellnummer verfügbar. LED Warm White mit hohem Farbwiedergabeindex

Installation

zum Einbau in abgehängte Decken von 1 bis 20 mm mittels Federn aus Stahldraht - Einbauöffnung 35 x 64

Farben

Weiß (01)

Gewicht (Kg)

0.09

Montage

Wandeinbauleuchte|Deckeneinbauleuchte

Verkabelung

Konstantstromversorgungseinheit separat zu bestellen: elektronisch (MxF9) für max 7 LEDs; dimmbar DALI (BZM4) für max 20 LED (anhand der Anleitungen die kompatiblen Längen der zu verwendenden Kabel feststellen)

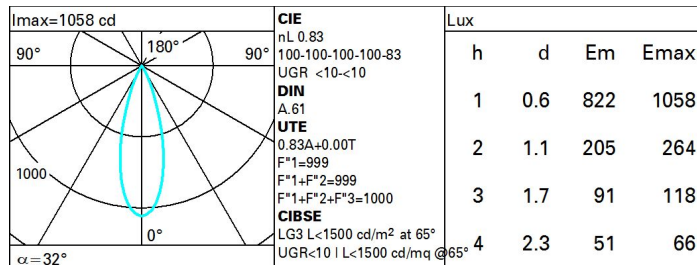
Gemäß der Normen EN60598-1 u. Sondernormen



Technische Daten

| | | | |
|---|------|-----------------------------------|-------------------------------|
| Im System: | 315 | CRI (typisch): | 97 |
| W System: | 4 | Farbtemperatur [K]: | 3000 |
| Im Lichtquelle: | 380 | MacAdam Step: | 3 |
| W Lichtquelle: | 4 | Lebensdauer LED 1: | 50,000h - L90 - B10 (Ta 25°C) |
| Lichtausbeute (lm/W, Systemwert): | 78.7 | Lampencode: | LED |
| Im im Notlichtbetrieb: | - | Anzahl Lampen in Leuchtengehäuse: | 1 |
| abgegebener Lichtstrom bei/ über einem Winkel von 90° [lm]: | 0 | ZVEI-Code: | LED |
| Leuchtenbetriebswirkungsgrad (L.O.R.) [%]: | 83 | Anzahl Leuchtengehäuse: | 1 |
| Abstrahlwinkel [°]: | 32° | LED Strom [mA]: | 700 |
| CRI (minimum): | 95 | | |

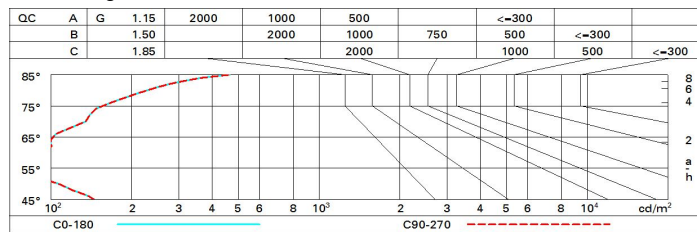
Polardiagramm



Wirkungsgrad

| | | | | | | | | | |
|------|----|----|----|----|----|----|----|----|-----|
| R | 77 | 75 | 73 | 71 | 55 | 53 | 33 | 00 | DRR |
| K0.8 | 75 | 71 | 68 | 66 | 70 | 68 | 68 | 65 | 78 |
| 1.0 | 78 | 75 | 72 | 70 | 74 | 72 | 71 | 69 | 83 |
| 1.5 | 82 | 79 | 77 | 76 | 78 | 77 | 76 | 73 | 89 |
| 2.0 | 84 | 83 | 81 | 80 | 81 | 80 | 79 | 77 | 93 |
| 2.5 | 86 | 85 | 84 | 83 | 83 | 82 | 82 | 79 | 96 |
| 3.0 | 87 | 86 | 85 | 85 | 85 | 84 | 83 | 81 | 98 |
| 4.0 | 88 | 87 | 87 | 86 | 86 | 86 | 84 | 82 | 99 |
| 5.0 | 89 | 88 | 88 | 87 | 87 | 86 | 85 | 83 | 100 |

Söllner-Diagramm



UGR-Diagramm

| Corrected UGR values (at 380 lm bare lamp luminous flux) | | | | | | | | | | | |
|--|------|------------------|------|------|------|-------------|----------------|------|------|------|------|
| Reflect.: | | viewed crosswise | | | | | viewed endwise | | | | |
| ceiling/cav | | 0.70 | 0.70 | 0.50 | 0.50 | 0.30 | 0.70 | 0.70 | 0.50 | 0.50 | 0.30 |
| walls | | 0.50 | 0.30 | 0.50 | 0.30 | 0.30 | 0.50 | 0.30 | 0.50 | 0.30 | 0.30 |
| work pl. | | 0.20 | 0.20 | 0.20 | 0.20 | 0.20 | 0.20 | 0.20 | 0.20 | 0.20 | 0.20 |
| Room dim | | | | | | | | | | | |
| x | y | | | | | | | | | | |
| 2H | 2H | -2.9 | -2.4 | -2.6 | -2.1 | -1.9 | -2.9 | -2.4 | -2.6 | -2.1 | -1.9 |
| | 3H | -2.9 | -2.5 | -2.6 | -2.2 | -1.9 | -3.0 | -2.5 | -2.7 | -2.3 | -2.0 |
| | 4H | -3.0 | -2.5 | -2.6 | -2.2 | -1.9 | -3.1 | -2.6 | -2.7 | -2.3 | -2.0 |
| | 6H | -2.9 | -2.5 | -2.6 | -2.2 | -1.9 | -3.1 | -2.7 | -2.8 | -2.4 | -2.1 |
| | 8H | -2.9 | -2.5 | -2.5 | -2.2 | -1.8 | -3.2 | -2.8 | -2.8 | -2.4 | -2.1 |
| | 12H | -2.8 | -2.4 | -2.4 | -2.1 | -1.7 | -3.2 | -2.8 | -2.8 | -2.5 | -2.1 |
| 4H | 2H | -3.1 | -2.6 | -2.7 | -2.3 | -2.0 | -3.0 | -2.5 | -2.6 | -2.2 | -1.9 |
| | 3H | -3.1 | -2.7 | -2.7 | -2.4 | -2.1 | -3.1 | -2.7 | -2.7 | -2.4 | -2.0 |
| | 4H | -3.1 | -2.8 | -2.7 | -2.4 | -2.0 | -3.1 | -2.8 | -2.7 | -2.4 | -2.0 |
| | 6H | -3.0 | -2.7 | -2.6 | -2.3 | -1.9 | -3.2 | -2.9 | -2.7 | -2.5 | -2.1 |
| | 8H | -2.9 | -2.6 | -2.5 | -2.2 | -1.8 | -3.2 | -2.9 | -2.7 | -2.5 | -2.1 |
| | 12H | -2.7 | -2.5 | -2.2 | -2.0 | -1.6 | -3.2 | -3.0 | -2.8 | -2.5 | -2.1 |
| 8H | 4H | -3.2 | -2.9 | -2.7 | -2.5 | -2.1 | -2.9 | -2.6 | -2.5 | -2.2 | -1.8 |
| | 6H | -3.0 | -2.8 | -2.5 | -2.3 | -1.9 | -2.8 | -2.6 | -2.4 | -2.2 | -1.7 |
| | 8H | -2.8 | -2.6 | -2.3 | -2.1 | -1.7 | -2.8 | -2.6 | -2.3 | -2.1 | -1.7 |
| | 12H | -2.4 | -2.3 | -1.9 | -1.8 | -1.3 | -2.7 | -2.6 | -2.2 | -2.1 | -1.6 |
| 12H | 4H | -3.2 | -3.0 | -2.8 | -2.5 | -2.1 | -2.7 | -2.5 | -2.2 | -2.0 | -1.6 |
| | 6H | -3.0 | -2.8 | -2.5 | -2.3 | -1.8 | -2.6 | -2.4 | -2.1 | -1.9 | -1.4 |
| | 8H | -2.7 | -2.6 | -2.2 | -2.1 | -1.6 | -2.4 | -2.3 | -1.9 | -1.8 | -1.3 |
| Variations with the observer position at spacing: | | | | | | | | | | | |
| S = | 1.0H | 5.6 / -3.8 | | | | 5.6 / -3.8 | | | | | |
| | 1.5H | 8.3 / -4.0 | | | | 8.3 / -4.0 | | | | | |
| | 2.0H | 10.3 / -4.1 | | | | 10.3 / -4.1 | | | | | |